

Klausur: Grundlagen der Elektronik WS 11/12

Kurzfragen ohne Unterlagen (Bearbeitungszeit: 30 min)

- Wie groß ist der Abstand zweier nächster Nachbaratome der gleichen Art in einem Kristallgitter mit der Gitterkonstante a
im Zinkblendegitter?
im Diamantgitter?
- Welche der Aussagen zu dem gezeigten Bändermodell mit den Bandkanten W_V und W_L sowie den beiden Quasi-Fermi-Niveaus W_{Fn} und W_{Fp} für die Elektronen und Löcher sind richtig unter der Voraussetzung gleicher effektiver Zustandsdichten im Leitungs- und Valenzband?
- Welche der Aussagen zum Bipolartransistor sind richtig?
- Welche der Aussagen zur Kapazität C einer pn -Diode mit abruptem Übergang und homogenen Dotierungen sind zutreffend?
- Skizzieren Sie in dem vorbereiteten Diagramm den Verlauf der Bandkanten eines intrinsischen homogenen Halbleiters mit gleichförmigem elektrischen Feld. Markieren Sie W_L , W_V und W_i sowie Plus- und Minuspol der äußeren Spannungsquelle (in den Quadranten) und die positive Stromrichtung I .
- Welche der Aussagen zu Feldeffekt-Transistoren sind zutreffend?
- Schätzen Sie die Transistfrequenz f_T eines FET ab für eine Gatellänge $l_G = 1 \mu\text{m}$ und eine Sättigungsdriftgeschwindigkeit der Elektronen $v_{\text{sat}} = 1 \cdot 10^7 \text{ cm/s}$. (Formel und Wert)
- Welche digitalen Verknüpfungen werden hier realisiert (vereinfachen Sie möglichst die Ausdrücke)?
Welches Gatter wird dabei ausschließlich verwendet?
- Tragen Sie in die durchgezogene Strom-Spannungskennlinien eines pn -Übergangs die üblichen Arbeitspunkte in Form eines Kreuzes mit entsprechendem Buchstaben für folgende optoelektronischen Bauelemente ein:
- Berechnen Sie die Spannungsverstärkung $v_u = u_1/u_2$ der idealen Operationsverstärkerschaltung.

Klausur: Grundlagen der Elektronik WS 11/12

Aufgaben ohne Unterlagen (Bearbeitungszeit: 2 Std.)

- In Abb. 1a und 1b sind ein Halbleiter-Widerstand und eine ideale Halbleiter-Diode aus identischem Grundmaterial schematisch dargestellt. Die Diffusionslängen der freien Ladungsträger L_n und L_p , die Bandlücke W_G sowie die geometrischen Abmessungen der Bauelemente sind als temperaturunabhängig anzusehen. Die Dotieratome sind vollständig ionisiert. Die Temperaturabhängigkeiten der Beweglichkeiten und der effektiven Zustandsdichten sind:

$$\frac{\mu_p(T)}{\mu_{p0}} = \frac{\mu_n(T)}{\mu_{n0}} = \left(\frac{T}{T_0}\right)^{-1}; \quad \frac{N_{L0}(T)}{N_{L0}} = \frac{N_V(T)}{N_{V0}} = \left(\frac{T}{T_0}\right)^{3/2}$$

$T_0 = 300 \text{ K}$; $\mu_{p0} = 100 \text{ cm}^2/(\text{Vs})$; $\mu_{n0} = 1000 \text{ cm}^2/(\text{Vs})$; $N_{L0} = N_{V0} = 10^{19} \text{ cm}^{-3}$; $W_G = 1 \text{ eV}$; $L_p = 50 \mu\text{m}$; $L_n = 200 \mu\text{m}$. Für den Widerstand in Abb. 1a soll Störstellenleitung angenommen werden ($p = N_{A1} = 10^{18} \text{ cm}^{-3}$) und $l = 1 \text{ mm}$. Bei der pn^+ -Diode in Abb. 1b sollen die Bahnwiderstände vernachlässigt werden, und es gelten $N_{A2} = 10^{15} \text{ cm}^{-3}$, $N_D = 5 \cdot 10^{18} \text{ cm}^{-3}$ sowie für eine Diode in Durchlasspolung allgemein

Für die Fläche beider Bauelemente gilt $A = 100 \mu\text{m}^2$. Lösen Sie die Aufgabenteile a) und b) formelmäßig, wobei in den Formeln alle Temperaturabhängigkeiten explizite enthalten sein sollen, und ermitteln Sie zusätzlich Zahlenwerte in b).

- Geben Sie für beide Bauelemente I in Abhängigkeit von U , T und gegebenen Größen an. Hinweis:

$$n_i^2 = N_V N_A \exp\left(-\frac{W_G}{kT}\right) \quad \text{und} \quad D_{n,p} = \frac{kT}{q} \mu_{n,p}$$

Abb. 1

- Berechnen Sie für beide Bauelemente

$$J = \left(\frac{q D_p p_{n0}}{L_p} + \frac{q D_n n_{p0}}{L_n} \right) \cdot \left[\exp\left(\frac{qU}{kT}\right) - 1 \right]$$

mente für $U = 10 \text{ V}$ und $T = T_0$ den Strom I und den relativen Temperaturkoeffizienten

$1/I \cdot dI/dT = f(I, T)$. Verwenden Sie sinnvolle Näherungen. ($q = 1,602 \cdot 10^{-19}$ C; $k = 1,38 \cdot 10^{-23}$ Ws/K)

- c) Ist die in der Aufgabenstellung angenommene Vernachlässigung der Bahnwiderstände der Diode gerechtfertigt?

- 2) Berechnen Sie für einen n^+p -Übergang (Abb. 2a) die Diffusionsspannung U_D und für den spannungslosen Fall ($U = 0$) die Ausdehnung der Verarmungszone w_p und die Größe der Sperrschichtkapazität pro Fläche c_s . Gegeben sind die thermische Energie $kT = 26$ meV, die konstanten Dotierungen $N_D = 10^{18} \text{ cm}^{-3}$ und $N_A = 10^{15} \text{ cm}^{-3}$ (alle vollständig ionisiert) des abrupten Übergangs, die Eigenleitungskonzentration $n_i = 10^{10} \text{ cm}^{-3}$ sowie $\epsilon = 10^{-12} \text{ As/(Vcm)}$; $q = 1,602 \cdot 10^{-19} \text{ As}$.

- a) Skizzieren Sie in den vorbereiteten Diagrammen (Abb. 2b bis d) die Verläufe der Raumladungsdichte ρ , der Feldstärke E und der Bandkanten W_L und W_V sowie der Fermi-Energie W_F in der Diode für $U = 0$. Dabei soll angenommen werden, dass die Raumladungszone ($0 \approx -w_n \leq x \leq w_p$) vollständig an beweglichen Ladungsträgern verarmt ist und ihre Ränder abrupt sind. Achten Sie auf vollständige Beschriftung!

- b) Berechnen Sie im Bereich $0 \leq x \leq w_p$ den Verlauf der Raumladungen. Leiten Sie daraus unter Verwendung der Poisson-Gleichung

$$\Delta W_V = q \operatorname{div} E = \frac{q}{\epsilon} \rho = \frac{q^2}{\epsilon} (N_D^+ + p - N_A^- - n)$$

die Verläufe der Feldstärke $E(x)$ (die Bahngebiete sind feldfrei) und der Bandkante $W_V(x, W_V(w_p))$ her (Formeln).

- c) Wie groß sind im thermodynamischen Gleichgewicht die Löcherkonzentrationen $p_{n0}(-w_n)$ und $p_{p0}(w_p)$ an beiden Rändern der Verarmungszone (Formeln und Werte)? Tragen Sie in Abb. 2d die Diffusionsspannung U_D ein und bestimmen Sie unter Verwendung der Gleichung

$$p = N_V \exp\left(-\frac{W_F - W_V}{kT}\right)$$

aus $p_{n0}(-w_n)$ und $p_{p0}(w_p)$ die Diffusionsspannung U_D (Formel und Wert).

- d) Wo ist die Feldstärke maximal (E_m in Abb. 2c eintragen) und wie groß ist sie in Abhängigkeit von w_p (Formel aus b)?

- e) Welchen Zusammenhang gibt es zwischen der maximalen Feldstärke E_m und Diffusionsspannung U_D (Formel)? Verdeutlichen Sie diesen in Abb. 2c).
- f) Berechnen Sie aus d) und e) die Ausdehnung der Verarmungszone w_p (Formel und Wert).
- g) Welche Sperrschichtkapazität könnte man an diesem n^+p -Übergang bezogen auf die Fläche messen (Formel und Wert)?

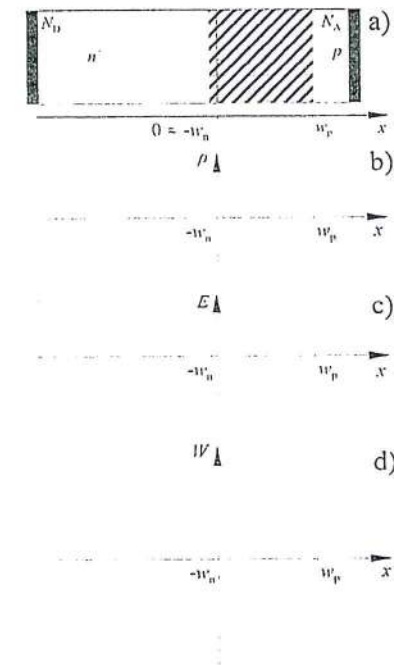


Abb. 2 n^+p -Diode (a), Raumladungsverlauf (b), Feldstärkeverlauf (c), Bänderdiagramm (d)

- 3) Gegeben ist eine Verstärkerschaltung (Abb. 3a) mit $R_1 = 60 \text{ k}\Omega$; $R_2 = 20 \text{ k}\Omega$; $R_E = 50 \Omega$ und das Kleinsignal-Ersatzschaltbild (ESB in Abb. 3b) des verwendeten Transistors mit $r_e = 85 \Omega$; $\alpha = 0,99$; $r_c = 10 \text{ M}\Omega$; $r_b = 1,5 \text{ k}\Omega$.

- a) Um welche Grundschaltung handelt es sich in Abb. 3a? Wandeln Sie das gegebene Transistor-ESB (nur Abb. 3b) in einen Vierpol entsprechend der Grundschaltung um. Berechnen Sie die y -Parameter des Transistors in Abhängigkeit von den ESB-Größen entsprechend der Gleichungen

$$\begin{aligned} \dot{i}_1 &= Y_{11} U_1 + Y_{12} U_2, \\ \dot{i}_2 &= Y_{21} U_1 + Y_{22} U_2. \end{aligned}$$

Vereinfachen Sie die Ausdrücke für r_e , $r_b < (1-\alpha)r_c$, und berechnen Sie Werte.

- b) Erstellen Sie das Kleinsignal-ESB der gesamten Verstärkerschaltung (Abb. 3a, Kapazitäten sind Kurzschlüsse) unter Verwendung des y -ESB (Werte aus a). Berechnen Sie Eingangs- und Ausgangswiderstand (R_e für $u_A = 0$ und R_o für $u_E = 0$) sowie Kurzschlussstrom- und Leerlaufspannungs-Verstärkung (v_{KKS} und v_{uLL}) (Formeln und Zahlen).

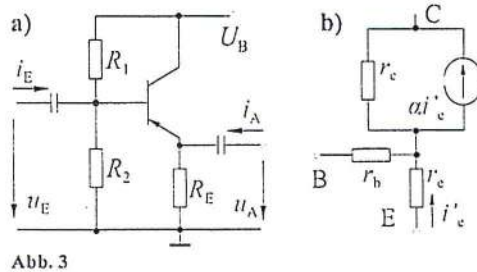


Abb. 3

Lösung zu 1:

- a) Für den Widerstand gilt

$$I = \frac{U}{R} = \frac{U \cdot \sigma \cdot A}{l} = \frac{U q \mu_{p0} N_{A1} A}{l} \cdot \frac{T_0}{T}.$$

Für die Diodenkennlinie wird nur die hoch dotierte Seite berücksichtigt. Dann ergibt sich nach (1.71) mit der Einstein-Beziehung (1.34) $D_n = kT\mu_n/q$ und $n_{p0} = n_i^2/N_A$ sowie (1.16)

$$\begin{aligned} I &= -\frac{A q D_n n_{p0}}{L_n} \left(e^{-\frac{qU}{kT}} - 1 \right) = -\frac{A k T \mu_{n0} n_i^2(T)}{L_n N_{A2}} \cdot \frac{T_0}{T} \left(e^{-\frac{qU}{kT}} - 1 \right) \\ &= -\frac{A k T \mu_{n0} N_{L0}^2 T^3 e^{-\frac{W_G}{kT}}}{L_n N_{A2} T_0^3} \cdot \frac{T_0}{T} \left(e^{-\frac{qU}{kT}} - 1 \right). \end{aligned}$$

- b) Aus a) ergibt sich für den Widerstand

$$I = U \cdot \frac{q \mu_{p0} N_{A1} A}{l} \cdot \frac{T_0}{T} = 1,6 \text{ mA} \rightarrow \frac{1}{I} \cdot \frac{dI}{dT} = -\frac{1}{T} = -3,33 \cdot 10^{-3} \frac{1}{K}.$$

Für die Diode ergibt sich im Sperrbereich

$$\begin{aligned} I &= \frac{A k \mu_{n0} N_{L0}^2 T^3 e^{-\frac{W_G}{kT}}}{L_n N_{A2} T_0^2} = 0,33 \text{ fA} \\ \rightarrow \frac{1}{I} \cdot \frac{dI}{dT} &= \frac{1}{I} \cdot \frac{A k \mu_{n0} N_{L0}^2}{L_n N_{A2} T_0^2} \left(3 T^2 e^{-\frac{W_G}{kT}} + T^3 \frac{W_G}{k T^2} e^{-\frac{W_G}{kT}} \right) = \frac{3}{T} + \frac{W_G}{k T^2} = 0,14 \frac{1}{K}. \end{aligned}$$

- c) Die Vernachlässigung der Bahnwiderstände ist sinnvoll, da der Sperrstrom der Diode viel kleiner ist als der Strom durch den homogenen Widerstand, dessen Größenordnung den Bahnwiderständen entspricht.

Lösung zu 2:

a)

b) Die Poisson-Gleichung (1.39) vereinfacht sich im Bereich $0 \leq x \leq w_p$ zu:

$$\frac{d^2 W}{dx^2} = q \frac{dE}{dx} = -\frac{q^2}{\epsilon} N_A.$$

Einfache Integration von einem Ort x in der Verarmungszone zum linken Rand der Verarmungszone ergibt mit $E(w_p) = 0$ die elektrische Feldstärke:

$$-E(x) = -\frac{q}{\epsilon} N_A (w_p - x).$$

Die zweite Integration liefert den Verlauf der Bandkanten:

$$W_V(w_p) - W_V(x) = \frac{q^2}{\epsilon} N_A \int_x^{w_p} (w_p - x') dx' = \frac{q^2}{2\epsilon} N_A (w_p - x)^2$$

$$\rightarrow W_V(x) = -\frac{q^2}{2\epsilon} N_A (w_p - x)^2 + W_V(w_p).$$

c) Am Rande der Verarmungszone herrscht wie in der gesamten Struktur Gleichgewicht, also $p_{n0}(-w_n) = n_i^2/N_D = 10^2 \text{ cm}^{-3}$ bzw. $p_{p0}(w_p) = N_A = 10^{15} \text{ cm}^{-3}$. Aus

$$N_A = N_V \exp\left(-\frac{W_F - W_V(w_p)}{kT}\right)$$

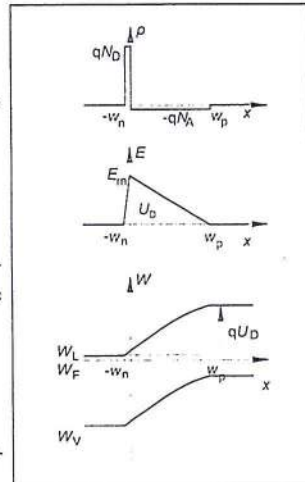
$$\text{und } \frac{n_i^2}{N_D} = N_V \exp\left(-\frac{W_F - W_V(-w_n)}{kT}\right) = N_V \exp\left(-\frac{W_F - W_V(w_p) + qU_D}{kT}\right)$$

folgt nach Auflösung

$$U_D = \frac{kT}{q} \ln \frac{N_D N_A}{n_i^2} = 0,77 \text{ V}.$$

d) Die maximale Feldstärke ist immer am metallurgischen Übergang und ergibt sich aus b)

$$E(0) = E_m = -\frac{q N_A w_p}{\epsilon}.$$



e) Die Diffusionsspannung U_D ergibt sich aus dem Integral der Feldstärke über die gesamte Verarmungszone, ist also die Fläche unter der Kurve. Wegen des linearen Zusammenhangs folgt $U_D = w_p \cdot E_m / 2$.

f) Aus d) und e) folgt

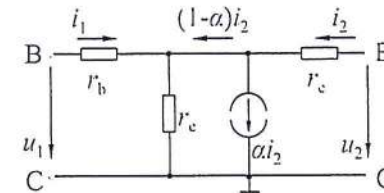
$$E_m = \frac{2U_D}{w_p} = \frac{q N_A w_p}{\epsilon}; \rightarrow w_p = \sqrt{\frac{2\epsilon U_D}{q N_A}} = 0,98 \text{ } \mu\text{m}.$$

g) Die Sperrschichtkapazität pro Fläche ergibt sich nach (1.56) zu

$$C_g = \frac{\epsilon}{w_p} = 10 \frac{\text{nF}}{\text{cm}^2}.$$

Lösung zu 3:

a) Da der Kollektor sowohl im Eingangs- als auch im Ausgangskreis vorhanden ist, handelt es sich hier um eine Kollektorschaltung (siehe y-ESB).



Für Kurzschluss am Ausgang ($u_2 = 0$) liest man ab

$$u_1 = i_1(r_b + r_c) + i_2(1 - \alpha)r_c \rightarrow i_2 = \frac{u_1 - i_1(r_b + r_c)}{(1 - \alpha)r_c},$$

$$-i_2 = \frac{u_1 - i_1 r_b}{r_c}.$$

Gleichsetzen und Auflösen führt zu

$$i_1 = u_1 \frac{r_e + r_c(1-\alpha)}{r_b r_c(1-\alpha) + r_c(r_b + r_c)} = u_1 \frac{1-\alpha}{r_b(1-\alpha) + r_c} \rightarrow y_{11} = \frac{1-\alpha}{r_b(1-\alpha) + r_c} = 100 \mu\text{S}.$$

Einsetzen in die erste Gleichung ergibt

$$i_2 = u_1 \frac{1 - \frac{(r_b + r_c)(r_e + r_c(1-\alpha))}{r_b r_c(1-\alpha) + r_c(r_b + r_c)}}{r_c(1-\alpha)} = u_1 \frac{-1}{r_b(1-\alpha) + r_c} \rightarrow y_{21} = \frac{-1}{r_b(1-\alpha) + r_c} = -10 \text{ mS}.$$

Bei einem Kurzschluss am Eingang lässt sich ablesen, dass

$$u_2 = i_2 r_c + (1-\alpha) i_2 \frac{r_b r_c}{r_b + r_c} \rightarrow$$

$$i_2 = u_2 \frac{1}{r_c + (1-\alpha) \frac{r_b r_c}{r_b + r_c}} = u_2 \frac{1}{r_c + (1-\alpha) r_b} \rightarrow y_{22} = \frac{1}{r_b(1-\alpha) + r_c} = 10 \text{ mS},$$

$$u_2 = \frac{u_2 r_c}{r_c + (1-\alpha) \frac{r_b r_c}{r_b + r_c}}$$

$$-i_1 = \frac{u_2 - i_2 r_c}{r_b} = \frac{u_2}{r_b} \rightarrow$$

$$i_1 = u_2 \frac{-(1-\alpha) r_c}{r_c(r_b + r_c) + r_b(1-\alpha)} = u_2 \frac{-(1-\alpha)}{r_c + r_b(1-\alpha)} \rightarrow y_{12} = \frac{-(1-\alpha)}{r_c + r_b(1-\alpha)} = -100 \mu\text{S}.$$

$$R_e = \left. \frac{u_E}{i_E} \right|_{u_A=0} = \frac{R_{12}}{y_{11} R_{12} + 1} = 6 \text{ k}\Omega \text{ mit } R_{12} = \frac{R_1 R_2}{R_1 + R_2};$$

$$R_a = \left. \frac{u_A}{i_A} \right|_{u_E=0} = \frac{R_E}{y_{22} R_E + 1} = 33 \Omega;$$

$$v_{uLL} = \left. \frac{u_A}{u_E} \right|_{i_A=0} = -R_a y_{21} = 0,33;$$

$$v_{1KS} = \left. \frac{i_A}{i_E} \right|_{u_E=0} = -R_a y_{21} = -60.$$

- b) Aus dem unten stehenden ESB der Gesamtschaltung können die gesuchten Größen direkt abgelesen werden.

